

К САМОСОГЛАСОВАННОЙ ТЕОРИИ
ВОЗБУЖДЕНИЯ СПИНОВЫХ ВОЛН
МНОГОЭЛЕМЕНТНЫМИ АНТЕННАМИ

В. Ф. Дмитриев, В. А. Калиникос

Существующая теория возбуждения спиновых волн (СВ) в ферромагнитных пленках (ФП) многоэлементными антеннами [1-3] не учитывает изменения поверхностного электрического тока в элементах антенны в процессе «излучения» СВ. Учет перераспределения поверхностного тока, как показывает теория одиночных микрополосковых антенн [4-6], особенно важен при анализе возбуждения поверхностных СВ. Целью настоящей работы является решение задачи об эффективности возбуждения СВ планарной многоэлементной антенной в самосогласованной постановке, т. е. с учетом перераспределения поверхностного тока $j(\zeta)$. Еще одним существенным отличием предлагаемой теории от ранее опубликованной [1-8], является то, что она учитывает не только диполь-дипольное, но и неоднородное обменное взаимодействие в спин-системе ФП.

Расчет электрических характеристик антенн спиновых волн (АСВ) обычно проводится на модели длинной линии с потерями [7], обоснование которой дано в [8]. Определение эффективности возбуждения СВ в такой модели сводится к расчету погонного сопротивления излучения R_a в спин-систему ФП. Получаемые таким способом результаты хорошо согласуются с экспериментальными данными [9, 10]. Заманчиво использовать аналогичный подход (опирающийся фактически на приближение ТЕМ волны в линии передачи, служащей антенной) и для описания многоэлементных антенн. В этом случае, как показывает проведенный нами анализ [11], выражение для погонного сопротивления излучения многоэлементной АСВ совпадает с ранее полученным для одноэлементной антенны [12]. В компактном виде выражения для парциальных составляющих R^+ и R^- погонного сопротивления излучения $R_a = R^+ + R^-$, которые определяют мощность, уносимую от антенны в двух противоположных направлениях, могут быть записаны в виде

$$R^\pm = \frac{\omega\mu_0}{2} \sum_n^{n_{\max}} |j_k(k_{\zeta n}^\pm)|^2 U_n(k_{\zeta n}^\pm), \quad (1)$$

где n_{\max} — число типов СВ, существующих на частоте возбуждения ω и определяемое, как это описано в [13]; $k_{\zeta n}^\pm$ — волновые числа спиновых волн, распространяющихся от антенны в противоположных направлениях. Величина U_n учитывает присутствие металлических экранов, направление постоянного намагничивания ФП, а также дисперсионные свойства возбуждаемых спиновых волн; ее расшифровка приведена в работе [12].

Как следует из (1), все особенности возбуждения СВ многоэлементной антенной учтены фурье-образом поверхностной плотности тока $j_k(k_\zeta)$. Таким образом, новая часть задачи расчета электрических характеристик многоэлементной антенны состоит в нахождении распределения ее поверхностного тока в режиме «излучения» СВ.

Рассмотрим планарную многоэлементную антенну, расположенную над поверхностью экранированной ферромагнитной пленки, намагниченной в произвольном направлении (рис. 1). Антенну зададим в виде произвольного числа m параллельных полосок идеального металла. Полные величины токов I_f в каждом элементе АСВ и их направления будем считать известными.¹ Распределение поверхностных токов $j_f(\zeta)$ в элементах антенны найдем, воспользовавшись электродинамическим граничным условием на нормальную компоненту магнитного поля на поверхности идеального металла антенной системы. Результирующее магнитное поле на поверхности антенны представим в виде суммы поля поверхностного тока [14], поля наведенных им токов, протекающих по металлическим экранам [14], и поля возбуждаемых антенной СВ [12]. При расчете последнего учтем как диполь-дипольное, так и неоднородное обменное взаимодействия. Вычисляя перечисленные поля в магнитостатич-

¹ Задача отыскания I_f при заданном суммарном токе на входе антенной системы решается как самостоятельная на основе системы телеграфных уравнений.

ском приближении и удовлетворяя электродинамическому граничному условию, приходим к интегральному уравнению

$$\frac{1}{\pi} \int_{\mathcal{D}} j(z') \frac{dz'}{z' - z} - \frac{1}{\pi} \int_{\mathcal{D}} j(z') K_0(z, z') dz' + \\ + \pi i \sum_{n=1}^{m_{\max}} \int_{\mathcal{D}} j(z') \{ \Delta_n^+ \exp[i\epsilon_n^+(z-z')] + \Delta_n^- \exp[-i\epsilon_n^-(z-z')] \} dz' = 0, \quad (2)$$

где обозначено $z=2\xi/w$, $\epsilon_n^{\pm}=k_n^{\pm}(b_1-a_1)$,

$$K_0(z, z') = (z' - z) \{ [(a-d)^2 + (z' - z)^2]^{-1} + [(b+d+L)^2 + (z' - z)^2]^{-1} \}, \\ \Delta_n^+ = U_n(\epsilon_n^+, \varphi) \epsilon_n^+/4\pi, \quad \Delta_n^- = U_n(\epsilon_n^-, \varphi + 180^\circ) \epsilon_n^-/4\pi,$$

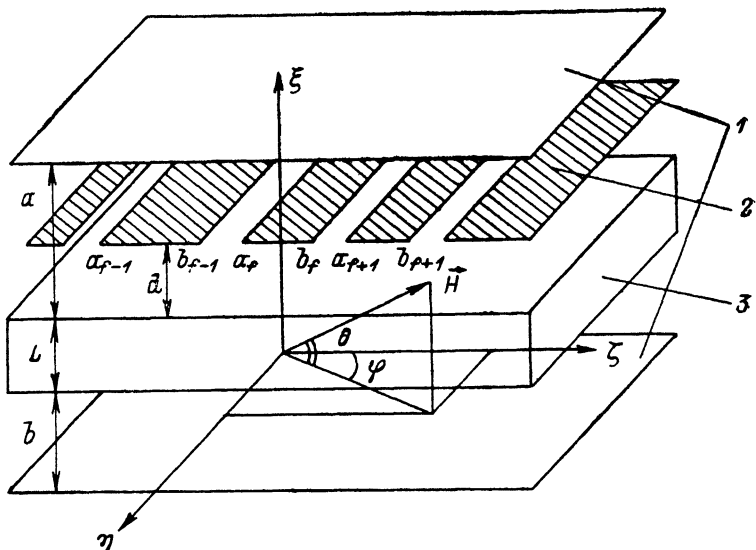


Рис. 1. Экранированная многоэлементная антенна.

1 — металлические экраны, 2 — элементы антенны, 3 — ферромагнитная пленка.

Контур \mathcal{D} образован совокупностью m отрезков $[a'_f, b'_f]$. Выполняя в (2) процедуру обращения интеграла типа Коши, получаем

$$j(z) = \left[\prod_{f=1}^m (z - a'_f)(b'_f - z) \right]^{-1/2} \times \left\{ Q_{m-1}(z) - \frac{1}{\pi^2} \int_{\mathcal{D}} j(z') K_1(z, z') dz' + \right. \\ \left. + \sum_{n=1}^{m_{\max}} \int_{\mathcal{D}} j(z') [F_n^+(-\epsilon_n^+, z) \exp(i\epsilon_n^+, z') + F_n^-(\epsilon_n^-, z) \exp(-i\epsilon_n^-, z')] dz' \right\}, \quad (3)$$

где $a'_f = 2a_f/(b_1 - a_1)$, $b'_f = 2b_f/(b_1 - a_1)$, $Q_{m-1}(z) = C_{m-1}z^{m-1} + C_{m-2}z^{m-2} + \dots + C_0$ есть алгебраический полином, коэффициенты которого находятся из условий на величину и направления

токов, протекающих через все элементы АСВ $\int_{a'_f}^{b'_f} j(\zeta) d\zeta = I_f$.

Ядро $K_1(z, z')$ имеет вид

$$K_1(z, z') = \int_{\mathcal{D}} \frac{\left[\prod_{f=1}^m (z_1 - a'_f)(b'_f - z_1) \right]^{1/2} K_0(z_1, z')}{z_1 - z} dz_1,$$

а величины F_n^+ и F_n^- определены следующим образом:

$$F_n^{\pm}(\epsilon_n^{\pm}, z) = \epsilon_n^{\pm} \int_{\mathcal{D}} \frac{\left[\prod_{f=1}^m (z_1 - a'_f)(b'_f - z_1) \right]^{1/2}}{z_1 - z} \exp(\pm i\epsilon_n^{\pm} z_1) dz_1.$$

Заменой переменной на каждом участке интегрирования $a_f \leq \zeta \leq b_f$ в виде $z_f = (2\zeta - b_f - a_f)/(b_f - a_f)$, $j(z_f) = (1 - z_f^2)^{-1/2} Y(z_f)$, а затем $z_f = \sin \tau_f$ можно показать, что ядра уравнения (3) являются Фредгольмовыми. Тогда (3) есть неоднородное интегральное уравнение Фредгольма второго рода. Анализ уравнения (3) показывает, что интегральный член с ядром $K_1(z, z')$ в случае $|b_f - a_f| < a, b$ дает поправки к решению пропорциональные $(a^2 + b^2)(b_f - a_f)^2/4\pi^2 a^2 b^2$, и в таком случае ими можно пренебречь. Решение уравнения (3) тогда будет иметь вид [15]

$$j(z) = \left[\prod_{f=1}^m (z - a'_f) (b'_f - z) \right]^{-1/2} \times \\ \times \left\{ Q_{m-1}(z) + \sum_{n=1}^{n_{\max}} [c_n^+ F_n^+(-\epsilon_n^+, z) + c_n^- F_n^-(\epsilon_n^-, z)] \right\}. \quad (4)$$

Коэффициенты c_n^\pm находятся с помощью формул Крамера из системы уравнений

$$\begin{cases} c_n^+ - \sum_l^{n_{\max}} [c_l^+ F_{ln}^+(-\epsilon_l^+, \epsilon_n^+) + c_l^- F_{ln}^-(\epsilon_l^-, \epsilon_n^+)] = f_n(\epsilon_n^+), \\ c_n^- - \sum_l^{n_{\max}} [c_l^+ F_{ln}^+(-\epsilon_l^+, -\epsilon_n^-) + c_l^- F_{ln}^-(\epsilon_l^-, -\epsilon_n^-)] = f_n(-\epsilon_n^-), \end{cases} \quad (5)$$

где

$$f_n(\epsilon_n^\pm) = \int_Q_{m-1}(z) \frac{\exp(\pm i \epsilon_n^\pm z)}{\left[\prod_{f=1}^m (z - a'_f) (b'_f - z) \right]^{1/2}} dz,$$

$$F_{ln}^\pm(\epsilon_l, \epsilon_n) = \int_Q F_l^\pm(\epsilon_l, z) \frac{\exp(i \epsilon_n z)}{\left[\prod_{f=1}^m (z - a'_f) (b'_f - z) \right]^{1/2}} dz.$$

Выражения (4), (5) описывают распределение плотности поверхностного тока в элементах антенны с учетом их взаимного влияния и процесса «излучения» спиновых волн.

Для расчета сопротивления излучения (1) необходим фурье-образ поверхностной плотности тока в антенне. На основании (4) он равен

$$j_k(k_{\zeta n}^\pm) = f_n(\epsilon_n^\pm) + \sum_{n'}^{n_{\max}} [F_{n'n}^+(\epsilon_n^+, \pm \epsilon_{n'}^\pm) c_{n'}^+ + F_{n'n}^-(\epsilon_n^-, \pm \epsilon_{n'}^\pm) c_{n'}^-], \quad (6)$$

$j_k(k_{\zeta n}^+)$ и $j_k(k_{\zeta n}^-)$ определяют фурье-образы поверхностного тока, необходимые для расчета парциальных сопротивлений излучения R^+ и R^- спиновых волн, распространяющихся от антенны в противоположных направлениях. Выражения (1), (6) совместно с известным законом дисперсии дипольно-обменных СВ в экранированной ФП [14] позволяют рассчитывать в самосогласованной постановке все основные характеристики излучения планарных многоэлементных антенн.

Литература

- [1] Wu H. J., Smith C. V., Collins J. H., Owens J. M. // Electron. Lett. 1977. Vol. 13. N 20. P. 610–611.
- [2] Adam J. D., Patterson R. W., O'Keeffe T. W. // J. Appl. Phys. 1978. Vol. 49. N 3. P. 1797–1799.
- [3] Sethares J. C., Weinberg I. J. // J. Appl. Phys. 1979. Vol. 50. N 3. P. 2458–2460.
- [4] Бугальтер Г. А., Махалин В. Н. // РиЭ. 1984. Т. 29. Вып. 7. С. 1252–1259.
- [5] Бугальтер Г. А., Махалин В. Н. // ЖТФ. 1985. Т. 55. Вып. 3. С. 497–505.
- [6] Гилинский И. А., Щеглов И. М. // ЖТФ. 1985. Т. 55. Вып. 12. С. 2323–2332.
- [7] Ganguly A. K., Webb D. C. // IEEE Trans. MTT-23. 1975. Vol. 23. N 12. P. 998–1006.
- [8] Бугальтер Г. А., Гилинский И. А. // РиЭ. 1987. Т. 32. Вып. 3. С. 465–472.
- [9] Дмитриев В. Ф., Калиникос Б. А., Ковшиков Н. Г. // ЖТФ. 1986. Т. 56. Вып. 11. С. 2169–2177.
- [10] Сорокин В. Г., Богун П. В., Кандыба П. Е. // ЖТФ. 1986. Т. 56. Вып. 12. С. 2377–2382.
- [11] Дмитриев В. Ф. // Автореф. канд. дис. Л., 1987. 16 с.
- [12] Дмитриев В. Ф., Калиникос Б. А. // Тез. докл. региональной конф. «Спинволновые явления электронники СВЧ». Краснодар, 1987. С. 77–78.

- [13] Калиникос Б. А. // Изв. вузов. Физика. 1981. Т. 24. Вып. 8. С. 42—56.
[14] Марков Г. Т., Чаплин А. Ф. Возбуждение электромагнитных волн. М.: Радио и связь. 1983. 296 с.
[15] Михлин С. Г. Интегральные уравнения. М.; Л.: ОГИЗ, 1947. 304 с.

Ленинградский электротехнический
институт им. В. И. Ульянова (Ленина)

Поступило в Редакцию
12 января 1988 г.

05; 06; 10; 11; 12

Журнал технической физики, т. 59, в. 1, 1989

ФОРМИРОВАНИЕ СКРЫТОГО СЛОЯ $\beta\text{-Si}_3\text{N}_4$ ПРИ ВЫСОКОИНТЕНСИВНОМ ИОННОМ ОБЛУЧЕНИИ (ВИО) КРЕМНИЯ

И. А. Бачило, Р. В. Грибковский, Ф. Ф. Комаров,
В. А. Мироненко, А. П. Новиков

В последнее время наблюдается повышенный интерес к получению структур кремний—
на—изоляторе вследствие огромной технологической важности последних в технологии
сверхбольших интегральных схем. Перспективным способом получения указанных структур

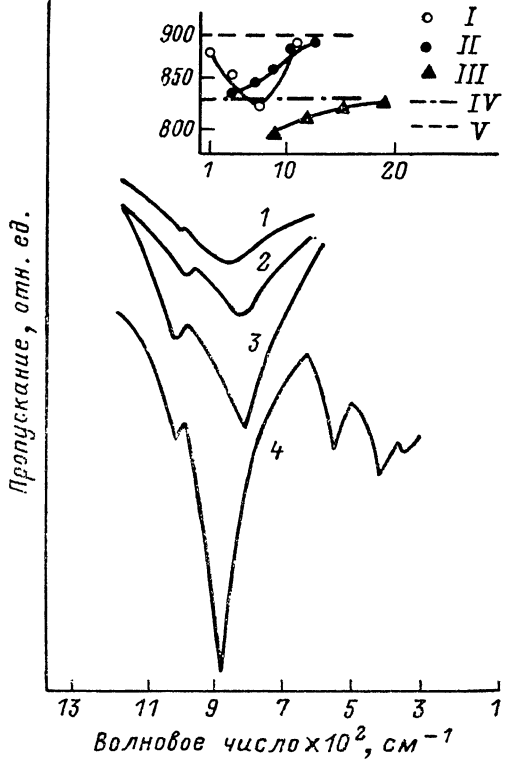


Рис. 1. Спектры ИК пропускания кремния, имплантированного азотом.

1 — 1.1, 2 — 3.5, 3 — 6.7, 4 — 9.7×10^{17} ат./см². На вставке — поведение максимума поглощения при различных условиях облучения: I — наши результаты, II — из [1], III — из [4], IV — положение максимума в аморфном Si_3N_4 , V — в $\beta\text{-Si}_3\text{N}_4$.

На рис. 1 представлены спектры ИК пропускания облученных образцов. Уже для малых доз имплантации спектр содержит полосу при 900 cm^{-1} и слабо выраженное плечо при 1040 cm^{-1} , что указывает на формирование зародышей $\beta\text{-Si}_3\text{N}_4$ [2]. При изменении дозы им-

плантации высокодозная имплантация ионов химически активной примеси (O, N) в монокристаллические пластины кремния [1–3]. Однако широкое промышленное применение данного метода ограничено рядом причин. Во-первых, время набора стехиометрических доз на существующих установках для ионной имплантации занимает около 100 ч. Во-вторых, при традиционных режимах облучения не удается получить протяженного, однородного по составу скрытого слоя нитрида кремния, вследствие выпадения части сверхстехиометрического азота в виде газовых пузырей [4–6], что может привести к расслоению структуры. Избежать выделения пузырей не удается даже в случае имплантации ионов азота в предварительно подогретую до 800°C подложку [6]. Логическим шагом на пути решения указанных проблем должна стать высокointенсивная имплантация ионов химически активной примеси.

Для формирования протяженного, однородного по составу скрытого слоя нитрида кремния выполнялось облучение монокристаллических пластин кремния ориентации (III) пучком ионов N_2 с кинетической энергией 140 кэВ при плотности ионного тока 100 мкA/cm^2 . Указанный режим облучения обеспечивал разогрев образцов до температуры $\sim 800^\circ\text{C}$ через 6–8 с после начала имплантации. Анализ фазового состава мишней после облучения дозами $10^{17}\dots 10^{18}$ ат./см² выполнялся методами оже-электронной и ИК спектроскопии.

На рис. 1 представлена спектра ИК пропускания облученных образцов. Уже для малых доз имплантации спектр содержит полосу при 900 cm^{-1} и слабо выраженное плечо при 1040 cm^{-1} , что указывает на формирование зародышей $\beta\text{-Si}_3\text{N}_4$ [2]. При изменении дозы им-